

## ФАЗОВЫЕ СООТНОШЕНИЯ СУЛЬФИДОВ ЖЕЛЕЗА В МЕТАСТАБИЛЬНОМ СОСТОЯНИИ

B. B. Onufrienok

Физические свойства нестехиометрических соединений композиционного ряда  $Fe_xS$  непосредственно зависят от предыстории и их химического состава. Например, при нагревании—охлаждении наблюдаются резкие изменения кривой намагниченности образца (некоторые из них относятся к так называемым  $\gamma$ -превращениям) [1–3]. Температура Кюри ряда соединений после воздействия на них температуры может отличаться от первоначального значения [4, 5]. Можно отметить также фазовый переход антиферромагнетик—ферромагнетик, наблюдаемый у метастабильных структур соединений  $Fe_{10}S_{11}$ , природа которых до конца не выяснена [8].

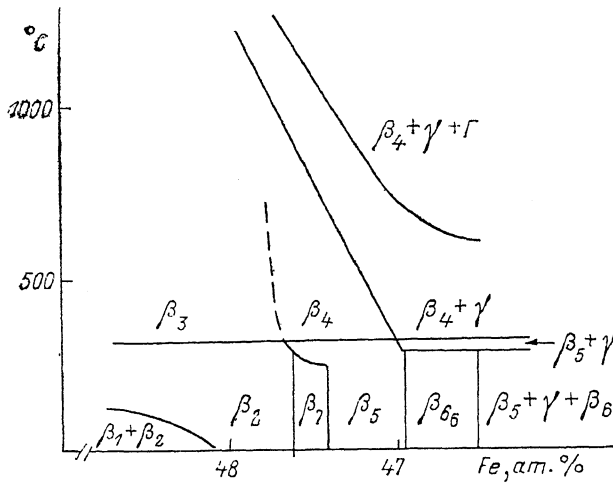


Рис. 1. Диаграмма фазовых соотношений сульфидов железа в метастабильном состоянии. ( $\Gamma$  — газообразная сера).

Сульфиды железа  $FeS$ — $Fe_7S_8$  обладают кристаллической структурой типа NiAs, в которой часть катионных позиций вакантна [1]. Распределение вакансий в структуре зависит от химического состава и температуры, поэтому сульфиды железа образуют сверхструктуры с различным типом упорядочения вакансий [1, 2]. Многие особенности магнитных свойств  $Fe_xS$  объясняются изменением расположения вакансий в структуре [6, 7], поэтому очевидна необходимость изучения фазовых соотношений сульфидов железа различного химического состава при различных температурах. Заметим, что диаграммы этих соединений, предложенные в литературе, имеют неточности и отличия даже в описании фазовых областей, которые повторяются на диаграммах различных авторов [8, 9]. В данной работе на основе многолетних исследований структуры, магнитных свойств и химического состава сульфидов железа различной предыстории представлена диаграмма их фазовых соотношений (см. рисунок).

Результаты исследований отдельных серий сульфидов железа различного химического состава представлены в работах [3, 5, 10], где и приводятся данные по магнитным свойствам, химическому составу и кристаллической структуре, а также методики синтеза.

Экспериментальное изучение фазовых соотношений сульфидов железа композиционного ряда  $FeS$ — $Fe_7S_8$  в координатах  $X-T$  (состав—температура) имеет ряд особенностей. Исследования в этой области носят ха-

рактер последовательных уточнений, поправок и дополнений, поэтому целесообразно отметить эти отличия в предложенной диаграмме от известных ранее.

1. Зависимость превращения пирротин ( $\beta_6$ )—пирит ( $\beta_5 + \gamma$ ) от химического состава (кривая не является изотермой, как считалось ранее). Действительно, в противном случае у образцов ( $\beta_6$ ) при температуре 290 °C должно резко произойти изменение химического состава. Это фиксировалось бы как на кривой намагниченности  $T$  ( $T$ ), так и на рентгеновской дифрактограмме этого образца. Однако этого не наблюдалось. В литературе имеются сведения об отсутствии резких изменений на кривой  $T$  ( $T$ ) при  $T=290$  °C у соединений  $Fe_7S_8$  [4], которые подтверждаются и исследованиями автора.

2. Разделение ферримагнитных сульфидов железа на три фазовые области. Первая область —  $\beta_6$  (образцы с моноклинной кристаллической структурой), вторая —  $\beta_7$  (образцы с гексагональной структурой и частичным упорядочением вакансий в базисных плоскостях), третья —  $\beta_5$  (образцы с гексагональной структурой и полным упорядочением вакансий в базисных плоскостях). Под полным упорядочением вакансий понимается такое их состояние, когда они расположены только в четных (нечетных) базисных плоскостях кристаллической структуры типа NiAs.

3. При температурах  $\sim 1000$  °C в интервале 48—47 ат. % Fe реализуется не гомогенный твердый раствор  $Fe-S-V_{Fe}$ , как считалось ранее, а осуществляется равновесное существование нескольких фаз, обладающих гексагональной структурой и отличающихся по химическому составу. Соотношение этих фаз находится в непосредственной зависимости от парциального давления паров серы, с возрастанием которого увеличивается относительное содержание обогащенных серой сульфидов железа. При медленном охлаждении происходит перераспределение ионов серы в структуре, и в результате этих процессов получаются гомогенные образцы. Таким образом были получены сульфиды железа в интервале составов  $Fe_{10}S_{11}$ — $Fe_7S_8$ . Однако не все эти соединения стабильны и со временем реализуются только  $Fe_{10}S_{11}$ ,  $Fe_9S_{10}$ ,  $Fe_7S_8$  [8]. Соединения эти обладают структурой с определенной симметрией расположения катионных вакансий. Следовательно, предлагаемая диаграмма является диаграммой метастабильных состояний.

На основе представленной диаграммы можно объяснить, например, магнитное превращение антиферромагнетик—ферримагнетик. Действительно, при нагревании до температуры  $\sim 950$  °C с последующим закаливанием получаем образец, содержащий 47.6 ат. % Fe (антиферромагнетик), а при медленном охлаждении получаем образец, содержащий 47.3 ат. % Fe (ферримагнетик).

Отметим, что фазы, обозначенные  $\beta_1$ ,  $\beta_2$ ,  $\beta_3$ ,  $\beta_4$ , описаны в [9, 10];  $V_{Fe}$  — вакансия ионов железа.

Таким образом, в результате исследований сульфидов железа различного химического состава предложены поправки к диаграмме фазовых соотношений этих соединений, которые качественно объясняют некоторые специфические магнитные свойства и превращения  $Fe_xS$ .

### Список литературы

- [1] Ward J. C. // Rev. Pure and Appl. Chem. 1970 V. 20. P. 175—206.
- [2] Fleet M. E. // Amer. Mineral. 1968. V. 53. P. 1846—1855.
- [3] Онуфриенок В. В., Звегинцев А. Г. // Геомагнетизм и аэрономия. 1981. Т. 21. № 3. С. 575—577.
- [4] Schwarz E. J., Vaughan D. J. // Geomagn. Geoelectr. 1972. V. 24. N 4. P. 441—457.
- [5] Звегинцев А. Г., Онуфриенок В. В. // Геомагнетизм и аэрономия. 1981. Т. 21. № 4. С. 763—765.
- [6] Онуфриенок В. В. // Изв. вузов, физика. 1989. № 4. С. 56—61.
- [7] Кузьмин Е. В., Онуфриенок В. В. // ФТТ. 1983. Т. 25. № 8. С. 2321—2326.
- [8] Morimoto N., Nakazawa H., Nishiguchi K., Tokonami M. // Science. 1970. V. 168. P. 964—966.